

II-109 粘性振動の減衰率 (= 周期) の研究

東京都立大学工学部 正員 安川 浩
東京都立大学大学院 学生員 田中 吾宏

§-1. 緒言

U字管の水面振動をもつて貯水池と直圧水槽とを結ぶ管路に於ける振動流の粘性による減衰はそれに自体非常に興味ある問題である。振動の減衰率及び周期は粘性や管路各常数等、いかなる比例係数にて定まるかに於いては未だ明確ではないようと思われる。例えば連結管振動では、減衰率が速度の一乗あるいは二乗に比例する仮定すれば微分方程式は解けず、比例係数をもつて、そのように定まるかは明確ではない。

我々は連結管の水面振動及び、細長い山筋形浮体の総振動に伴う流れを、いづれも山筋形境界を有する流れの場合と考え、減衰性を表現するため複素角速度 ω で振動する振動角速度を仮定す。山筋形で考えるならば前者は $0 \leq r \leq R$ の領域に於ける運動である、後者は $r \leq R$ の領域に於ける運動であるのみである。

未定常数である複素角速度 ω は Navier-Stokes の方程式の解として速度分布の形式だけに求められ、後は連続条件あるいは浮体の運動方程式等のマッチング条件から數値的に計算される。それらの結果、連結管の水面振動及び浮体の総振動に於ける減衰率と周期は、層流状態では、往々ひとつのパラメタ $R = r_0 \sqrt{\frac{P}{\rho g}}$ (ただし r_0 は半径) 及び実測値は計算による予測値とほぼ完全に一致するとか明るか ($\approx 10^3$)。

§-2 連結管振動に於ける減衰率並びに (周期)

(1) 山筋形に於ける Navier-Stokes の方程式は管軸方向の運動が支配的であると仮定すれば次式で与えられる。

$$\frac{\partial U_x}{\partial t} + U_r \frac{\partial U_x}{\partial r} + U_\theta \frac{\partial U_x}{\partial \theta} + U_z \frac{\partial U_x}{\partial z} = -\frac{1}{\rho} \frac{\partial P}{\partial x} + \nu \left(\frac{\partial^2 U_x}{\partial r^2} + \frac{1}{r} \frac{\partial U_x}{\partial r} + \frac{1}{r^2} \frac{\partial^2 U_x}{\partial \theta^2} + \frac{2}{r} \frac{\partial^2 U_x}{\partial z^2} \right) + F_x$$

連続条件すなはち $\frac{\partial U_x}{\partial z} = 0$ また $U_x \gg U_r, U_\theta$ の仮定より

$$\frac{\partial U_x}{\partial t} = -\frac{2}{\rho z} \left(\frac{P}{\rho} + gh \right) + \nu \left(\frac{\partial^2 U_x}{\partial r^2} + \frac{1}{r} \frac{\partial U_x}{\partial r} \right)$$

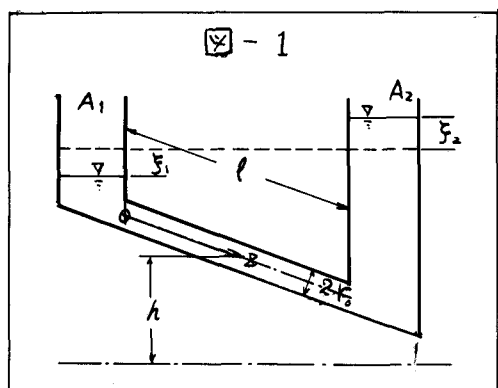
ω を未定の複素角速度とすと周期解を仮定すれば

$$U_x(r, t) = f(r) e^{i\omega t}$$

$$\omega = \omega_r + i\omega_i$$

$$\therefore \left(\nu \frac{d^2 f}{dr^2} + \frac{2}{r} \frac{df}{dr} - i\omega f \right) e^{i\omega t} = \frac{1}{\rho} \left\{ \left(\frac{P}{\rho} + gh \right)_{z=0} - \left(\frac{P}{\rho} + gh \right)_{z=R} \right\} \\ = \frac{g}{\rho} (h_2 - h_1)$$

h_1, h_2 は (図-1) に示す如きをうけたてた自由水面の上昇高。



連続条件(牛) $A_1 \xi_1 + A_2 \xi_2 = 0$, また $\xi_2 = \xi_0 e^{i\omega t}$ より

$$\frac{d^2 f}{dr^2} + \frac{1}{r} \frac{df}{dr} - \frac{i\omega}{\nu} f = \frac{g \xi_0}{\nu l A_1} (A_1 + A_2)$$

$$X = r \sqrt{-i\omega/\nu} \quad \text{と置くと}$$

$$\frac{d^2 f}{dX^2} + \frac{1}{X} \frac{df}{dX} + f = \frac{i g \xi_0}{\omega l A_1} (A_1 + A_2) \quad \dots \dots \dots \quad (2-1)$$

境界条件 $r=0$ で $f(X)$ は有限、及ぶ $r=r_0$ (管壁) で $f(X)=0$ の下に解けば

$$f(X) = \frac{i g \xi_0}{\omega l A_1} (A_1 + A_2) \left\{ 1 - \frac{J_0(X)}{J_0(X_0)} \right\} \quad X_0 = r_0 \sqrt{-\frac{i\omega}{\nu}}$$

$\therefore \xi_0 = J_0(X_0)$ はオーダーゼロの第一種ベッセル関数。

未定常数 ω は(2-1)では連続の条件より、管の流量と水面上昇速度との関係より

$$\int_{0}^{r_0} 2\pi r U_z dr = A_2 \frac{d\xi_2}{dt}$$

$$U_z = f(X) e^{i\omega t}, \quad \xi_2 = \xi_0 e^{i\omega t}, \quad X = r \sqrt{\frac{i\omega}{\nu}}, \quad X_0 = r_0 \sqrt{-\frac{i\omega}{\nu}} \quad \text{等より。}$$

$$\pi r_0^2 \frac{g(A_1+A_2)}{\ell A_1 A_2} \left\{ 1 - \frac{2}{X_0} \cdot \frac{J_1(X_0)}{J_0(X_0)} \right\} = \omega^2 \quad \dots \dots \dots \quad (2-2)$$

一方 非粘性と仮定したときの連絡管振動の速度 n ($\therefore n^2 = \frac{\pi r_0^2 (A_1+A_2)}{\ell A_1 A_2} g$)

故に無次元化したとき複素角速度を $\Omega = \frac{\omega}{n}$ 、また無次元化したとき管径を $\gamma = r_0 \sqrt{\frac{n}{\nu}}$ と置くこととする。若干の変形の結果簡単べき方程式は次式で与えられる。

$$\frac{X_0^4 \cdot J_0(X_0)}{J_2(X_0)} = \gamma^4 \quad \therefore \xi_0 = \gamma \sqrt{-i\Omega} \quad \dots \dots \dots \quad (2-3)$$

$$\text{EP3} \quad \text{Re}\{F(X_0)\} = \gamma^4 \quad \text{Im}\{F(X_0)\} = 0 \quad F(X_0) = \frac{X_0^4 \cdot J_0(X_0)}{J_2(X_0)}$$

§-3、細長の浮体の運動方程式

運動方程式 \Rightarrow 連続式 (前項と同じ)

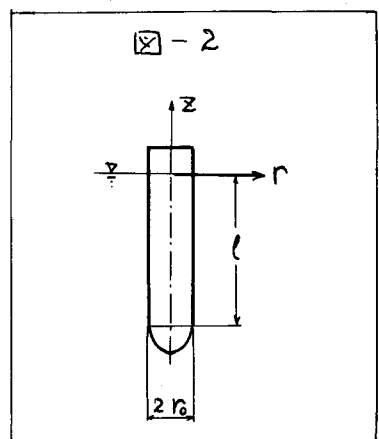
$$\frac{\partial}{\partial z} \left(\frac{P}{\rho} + gz \right) = \nu \left(\frac{\partial^2 U_z}{\partial r^2} + \frac{1}{r} \frac{\partial U_z}{\partial r} \right) - \frac{2}{\nu} \frac{\partial U_z}{\partial t}$$

浮体周囲の圧力分布と静水圧分布を仮定する。

$$\frac{\partial}{\partial z} \left(\frac{P}{\rho} + gz \right) = 0$$

前項同様 $U_z(r, t) = f(r) e^{i\omega t}, \quad X = r \sqrt{-\frac{i\omega}{\nu}}$

$$\frac{d^2 f}{dX^2} + \frac{1}{X} \frac{df}{dX} + f = 0 \quad \dots \dots \dots \quad (3-1)$$



半無限のベッセル関数を $Y_n(z)$ で表わせば (3-1) の一般解は 次式で表わされる。

$$f(x) = C_1 J_0(x) + C_2 Y_0(x)$$

$$\text{境界条件 } x=x_0; f(x_0) = \frac{d\zeta}{dt} = i\omega \xi_0, \quad x=\infty; f(x) = 0$$

$x \rightarrow \infty$ (= 先づけ) ベッセル関数の漸近展開式 + "

$$J_0(x) \rightarrow \sqrt{\frac{2}{\pi x}} \cos\left(x - \frac{\pi}{4}\right)$$

$$Y_0(x) \rightarrow \sqrt{\frac{2}{\pi x}} \sin\left(x - \frac{\pi}{4}\right)$$

無限遠に於ける 境界条件 $f(x) = 0$ すなはち $C_2 = \pm i C_1$

一方 浮体屋の条件 + " $C_1 \{ J_0(x_0) \pm i Y_0(x_0) \} = i\omega \xi_0$

$$\text{故に } f(x) = \frac{i\omega \xi_0}{J_0(x_0) \pm i Y_0(x_0)} \{ J_0(x) \pm i Y_0(x) \} \dots \dots \dots \quad (3-2)$$

複素角速度 ω (= (3-1) で浮体質量を M と下した) 浮体の運動方程式あり。

$$M \frac{d^2 \zeta}{dt^2} = -\rho g \pi r_0^2 \zeta - 2\pi r_0 (\ell - \zeta) \tau_0 \quad \tau_0: \text{屋面の剪断応力} \dots \dots \dots \quad (3-3)$$

$$\tau_0 = \mu \left(\frac{\partial \zeta}{\partial r} \right)_{r=r_0} = \mu \sqrt{-\frac{i\omega}{\nu}} \left(\frac{\partial \zeta}{\partial x} \right)_{x=x_0} = -\mu \sqrt{\frac{i\omega}{\nu}} \cdot i\omega \xi_0 \left\{ \frac{J_1(x_0) \pm i Y_1(x_0)}{J_0(x_0) \pm i Y_0(x_0)} \right\} e^{i\omega t}$$

$J_m(x) + i Y_m(x) = H_m^{(1)}(x)$, $J_m(x) - i Y_m(x) = H_m^{(2)}(x)$ は それを 1 種又 1 種のハインケル関数で (3-2) 式の複号は 小さい 1 種又 1 種に相当する。1 種の ω を考へれば 実部である。また $M = \rho \pi r_0^2 \ell$, $\zeta = \xi_0 e^{i\omega t}$ 及び $\ell \gg \zeta$ の仮定の下で (3-3) に代入して

$$\omega^2 = \frac{g}{\ell} + \frac{2\nu^2}{r_0} \left(-\frac{i\omega}{\nu} \right)^{\frac{1}{2}} \frac{H_1^{(1)}(x_0)}{H_0^{(1)}(x_0)}$$

$$= \frac{g}{\ell} = n^2, \quad x_0 = r_0 \sqrt{-\frac{i\omega}{\nu}} = \nu \sqrt{-i\Omega}, \quad \gamma = r_0 \sqrt{\frac{m}{\nu}}, \quad \Omega = \frac{\omega}{n} \text{ を考慮すれば}$$

$$F(x_0) = -x_0^4 \left\{ 1 + \frac{2}{x_0} \cdot \frac{H_1^{(1)}(x_0)}{H_0^{(1)}(x_0)} \right\} = \gamma^4$$

$$\text{即ち } \operatorname{Re}\{F(x_0)\} = \gamma^4, \quad \operatorname{Im}\{F(x_0)\} = 0, \quad x_0 = \nu \sqrt{-i\Omega}$$

以上の結果は 形式的には 運送管の水面運動の場合と 同一である。ただし $\arg \Omega \geq 0$ を考慮。無次元角速度 $\Omega = \frac{\omega}{n} = \frac{\omega_r}{n} + i \frac{\omega_i}{n}$ で 数値的に 下記れば 減衰率 $= e^{-2\pi \frac{\omega_i}{\omega_r}}$ 及び
無次元粘性振動角速度 ω_r/n は それそれ簡単に求められる。計算結果並びに 実測値は 図-3 及び 図-4 (= 不下)。

§-4 実験方法と結果及び考察

(連続管振動) 前述の計算は一般的な連続管について行なつたが、実験では管路出入口でのエネルギー損失の影響を除去するため内径の異なる丁字管を用いた。水位は塗化ビニール製丁字管の直立部への供給により、底部水位計により最大振幅20cmで測定を行なつた。減衰振動の周期と減衰率は各ピーフ毎にほぼ一定であり、記録紙から読み取ることは、記録紙フルスケールの1/2程度を示す象限に1つ。

(浮体の総振動) 管内水面振動の場合と異なり、浮体の大きさと管内管上、水位計の位置は必ずしも1くないが、浮体背後に自立板を立て、空気レーズ装着のボレックス社製16ミリシネカメラで振動する浮体を撮影した。振動周期は同調させたフィルム面の50Hzタイミングマークにより求めたものである。

浮体寸法は細長比を変えるため、水没長 ℓ と浮体外径 d との比 ℓ/d をそれぞれ10, 20, 30になるようバラストで調整した。実測値と予測値との比較は周期についてはほぼ完全に一致をみるが、減衰率については細長比と若干の差があり、細長比 ℓ/d の大きい程、予測値に近いことが認められる。

§-5 結論

以上の考察に於いては、層流境界層の範囲内で粘性による減衰を論じたのであるが、管内の水面振動は(1)にて、管内の速度分布から直達的減衰角速度が規定されることが明らかになつた。それは既に層流時においても速度分布を明らかにすることにより、同様の手法により求めることが可能である。

尚、浮体の実験を行なうにあたり、都立大学生工学研究室(川口士郎助教授)及び交通工学研究室(鍋島泰准)の両氏に有難い助言を頂戴した。ここに厚く御礼申し上げる。

参考文献

- (1) Th. Sexl "Über der von E. G. Richardson entdeckten „Annulareffekt“," Z. Phys. 61, 1930
- (2) Watson "Theory of Bessel Functions" Cambridge Univ. Press
- (3) 横浦信一郎 "波に伴う水底摩擦境界層について" 実地研究所報告 Vol. 26 1968

